

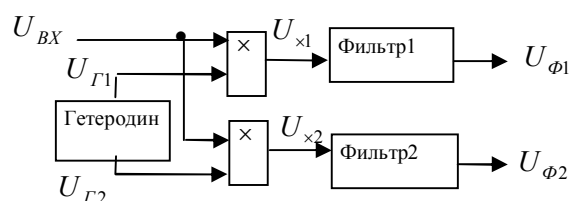
УДК 621.397

**В.Ф. Одинок****ВОССТАНОВЛЕНИЕ НЕСУЩЕЙ СИСТЕМЫ ПЕРЕДАЧИ ИНФОРМАЦИИ**

*Предложена методика определения частотного отклонения несущего колебания системы передачи информации в условиях шумов в канале связи.*

В системах передачи информации (СПИ) с квадратурной обработкой сигналов [1] обычно производится восстановление частот и фаз несущего и тактового колебаний, необходимых для синхронного приема символов, посредством блоков частотной и фазовой автоподстройки (ЧАП и ФАП) приемного генератора-гетеродина, расположенных после согласованных фильтров и имеющих малые полосы захвата. Если расстройка по несущей на промежуточной частоте приемника СПИ оказывается значительной, вначале осуществляется пошаговая перестройка (поиск) частоты гетеродина с целью входа в зону захвата систем ЧАП и ФАП. Последнее увеличивает время и сложность процесса восстановления параметров принимаемых сигналов.

С целью ликвидации поиска рассмотрим классическую схему квадратурного приема – рисунок 1, где фильтры 1, 2 подавляют высокочастотные компоненты после умножителей и не являются фильтрами согласованной фильтрации.



**Рисунок 1 – Схема квадратурной обработки сигналов**

Запишем сигналы на рисунке 1 в следующем виде:

$$U_{BX} = U_{BXM} \cos(\omega_{BX}t + \varphi_{BX}), \quad (1)$$

$$U_{G1} = U_{G1M} \cos(\omega_G t + \varphi_{G1}), \quad (2)$$

$$U_{G2} = U_{G2M} \cos(\omega_G t + \varphi_{G2}). \quad (3)$$

После умножения (1) на (2), (3) имеем:

$$U_{x1} = U_{G1} U_{BX} = U_{x1M} (\cos((\omega_G - \omega_{BX})t + \varphi_{G1} - \varphi_{BX}) + \cos((\omega_G + \omega_{BX})t + \varphi_{G1} + \varphi_{BX})), \quad (4)$$

$$U_{x2} = U_{G2} U_{BX} = U_{x2M} (\cos((\omega_G - \omega_{BX})t + \varphi_{G2} - \varphi_{BX}) + \cos((\omega_G + \omega_{BX})t + \varphi_{G2} + \varphi_{BX})). \quad (5)$$

Сигналы на выходе фильтров при полном подавлении составляющих с суммарными частотами оказываются равными

$$U_{\phi1} = U_{\phi1M} \cos((\omega_G - \omega_{BX})t + \varphi_{G1} - \varphi_{BX}), \quad (6)$$

$$U_{\phi2} = U_{\phi2M} \cos((\omega_G - \omega_{BX})t + \varphi_{G2} - \varphi_{BX}). \quad (7)$$

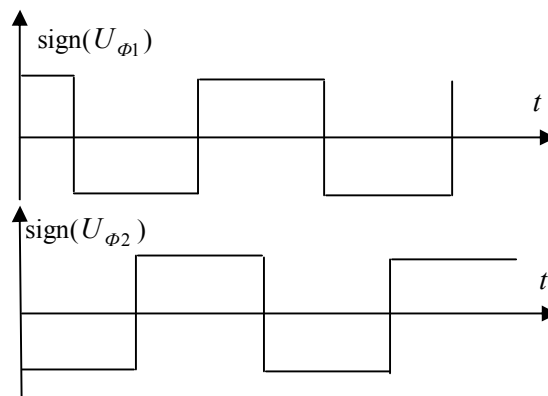
Поскольку при квадратурном приеме

$$\varphi_{G2} = \varphi_{G1} + \pi/2, \quad (8)$$

то

$$U_{\phi2} = U_{\phi2M} \cos((\omega_G - \omega_{BX})t + \varphi_{G1} + \pi/2 - \varphi_{BX}). \quad (9)$$

Подвергнем  $U_{\phi1}$ ,  $U_{\phi2}$  операции  $\text{sign}$  и рассмотрим получаемые временные последовательности сигналов – рисунок 2.



**Рисунок 2 – Квадратурные сигналы биений**

Из рисунка 2 находим правила определения знака и фактов отклонения несущей частоты относительно гетеродина:

1) если  $\text{sign}(U_{\phi1}) = 1$  и  $\text{sign}(U_{\phi2})$  изменяется с 1 на -1, и

2) если  $\text{sign}(U_{\phi1}) = -1$  и  $\text{sign}(U_{\phi2})$  изменяется с -1 на 1, и

3) если  $\text{sign}(U_{\phi2}) = 1$  и  $\text{sign}(U_{\phi1})$  изменяется с -1 на 1, и

4) если  $\text{sign}(U_{\phi2}) = -1$  и  $\text{sign}(U_{\phi1})$  изменяется с 1 на -1, то имеем четыре факта биений одного знака. При смене знака разности  $(\omega_G - \omega_{BX})$  аналогично выводим:

5) если  $\text{sign}(U_{\phi1}) = 1$  и  $\text{sign}(U_{\phi2})$  изменяется с -1 на 1, и

6) если  $\text{sign}(U_{\phi_1}) = -1$  и  $\text{sign}(U_{\phi_2})$  изменяется с 1 на -1 и

7) если  $\text{sign}(U_{\phi_2}) = 1$  и  $\text{sign}(U_{\phi_1})$  изменяется с 1 на -1, и

8) если  $\text{sign}(U_{\phi_2}) = -1$  и  $\text{sign}(U_{\phi_1})$  изменяется с -1 на 1, то имеем четыре факта биений другого знака.

Таким образом, производя регистрацию переходов любого из сигналов  $\text{sign}(U_{\phi_1})$ ,  $\text{sign}(U_{\phi_2})$  с учетом знака другого сигнала и разделяя результаты логического анализа двух групп пунктов 1-4, 5-8 по любому признаку (например, по полярности), несложно получить дискриминатор частотной расстройки по несущей, имеющий следующую дискриминационную характеристику:

$$\omega_D = 4(\omega_\Gamma - \omega_{BX}). \quad (10)$$

В соответствии с (6) полоса анализа такого ЧД ограничена величиной  $\omega_\Gamma + \omega_{BX}$ , как правило, превышающей полосы согласованных фильтров во много раз.

Так как система передачи информации практически не эксплуатируется без шумов в канале связи, необходимо оценить их влияние на работу частотного дискриминатора (ЧД).

Ясно, что шумы небольшого уровня в первую очередь будут менять моменты и знаки переходов сигналов  $\text{sign}(U_{\phi_1})$ ,  $\text{sign}(U_{\phi_2})$  через ноль. Малая вариация моментов переходов одного колебания из  $U_{\phi_1}$ ,  $U_{\phi_2}$  при одной и той же полярности другого колебания в принципе не скажется на величине и знаке  $\omega_D$ . Поочередная смена направлений переходов любого колебания из  $U_{\phi_1}$ ,  $U_{\phi_2}$  при сохранении полярности другого колебания обусловит формирование последовательности разных знаковых признаков частоты  $\omega_D$  с сохранением средней величины модуля  $\omega_D$ .

При большом шуме изменение знака параметра  $\omega_D$  произойдет также и при реверсе шумом полярности того сигнала из  $U_{\phi_1}$ ,  $U_{\phi_2}$ , при котором регистрируется переход через ноль другого колебания. Если средние числа таких искажений обоих знаков равны между собой, статистическая оценка частоты  $\omega_D$  не изменится. И, наконец, подавление большим шумом перехода через ноль любого колебания  $U_{\phi_1}$ ,  $U_{\phi_2}$  приведет к потере факта этого перехода и, следовательно, к уменьшению модуля  $\omega_D$ .

Поскольку сигналы  $U_{\phi_1}$ ,  $U_{\phi_2}$  меняются во времени от нуля до максимума, любой шум относительно  $U_{\phi_1}$ ,  $U_{\phi_2}$  может быть и "большим", и "малым". Таким образом, влияние шума на дискриминационную характеристику ЧД оказывается весьма сложным. Однако, предполагая принцип частотных измерений, учитывающих не одномоментную реакцию ЧД на конкретную ситуацию, а ансамбль событий по пунктам 1-8, сделаем усредненный математический анализ искажений равенства (10) при наличии общепринятого нормального шума в канале связи.

Оценим вначале вероятность превышения аддитивным шумом  $U_u$  сигнала  $U \in \{U_{\phi_1}, U_{\phi_2}\}$  любой полярности, что, собственно, и приводит к подавлению перехода через ноль:

$$P_{ПП} = 2 \int_U^\infty f(U_u) dU_u, \quad (11)$$

где  $f(U_u)$  - функция плотности вероятности шума. Для нормальной шумовой помехи

$$f(U_u) = \frac{1}{\sigma_u \sqrt{2\pi}} \exp(-U_u^2 / 2\sigma_u^2), \quad (12)$$

где  $\sigma_u$  - среднеквадратический размах шума в полосе пропускания фильтров 1, 2 рисунка 1. Подставляя (12) в (11), получаем

$$P_{ПП} = (1 - \text{erf}(U / \sigma_u \sqrt{2})), \quad (13)$$

где для любого аргумента  $Y$  функции  $\text{erf}$

$$\text{erf}(Y) = \frac{2}{\sqrt{\pi}} \int_0^Y \exp(-s^2) ds. \quad (14)$$

Из вышеизложенного следует, что шум в канале связи может только уменьшать крутизну дискриминационной характеристики ЧД за счет  $P_{ПП}$ . Вероятность  $P_{ПП}$  изменяется от нуля до единицы. Поэтому с учетом (13) вместо (10) имеем

$$\begin{aligned} \omega_D &= 4(\omega_\Gamma - \omega_{BX})(1 - P_{ПП}) = \\ &= 4(\omega_\Gamma - \omega_{BX})(1 - (1 - \text{erf}(U / \sigma_u \sqrt{2}))) = \\ &= 4(\omega_\Gamma - \omega_{BX}) \text{erf}(U / \sigma_u \sqrt{2}). \end{aligned} \quad (15)$$

Как было сказано, расчет делался на ансамбль событий пунктов 1-8, когда  $U_{\phi_1}$ ,  $U_{\phi_2}$  изменяются во всех своих допустимых пределах. Поэтому величину  $U$  в (15) следует уподобить  $\sigma_u$  применительно к биениям.

Проверка справедливости уравнения (15), играющего важную роль при анализе полосы захвата и быстродействия систем ЧАП гетеродина в условиях шумов, предполагает отдельную установку статистических величин  $U$  (среднеквадратического отклонения сигнала) и  $\sigma_u$ , фиксированной расстройки  $(\omega_\Gamma - \omega_{BX})$  и измере-

ние среднего значения  $\omega_D$ . Средствами пакета МАТЛАБ параметры  $U^2$ ,  $\sigma_{ш}^2$  легко контролируются стандартными блоками Variance, а измерение средней знакопеременной величины  $\omega_D$  можно провести, усредняя поток выходных сигналов ЧД с помощью фильтра нижних частот при известном коэффициенте его передачи. Частоты  $\omega_G$ ,  $\omega_{BX}$  задаются установочными полями соответствующих генераторов библиотеки Simulink пакета МАТЛАБ.

Результаты модельных экспериментов для  $(\omega_G - \omega_{BX})/2\pi = 5$  кГц в диапазоне  $U^2/\sigma_{ш}^2$  (при  $U^2=0.037$ ) от  $\infty$  до 0.514 приведены в следующей таблице:

$U^2/\sigma_{ш}^2$	$\infty$	4.111	2.055	1.027	0.514
$\omega_D/2\pi$ (эксперимент)	20.00	19.59	17.30	13.15	9.30
$\omega_D/2\pi$ (теория)	20.00	19.06	16.80	13.60	10.36

Как видно из таблицы, совпадение теории и эксперимента достаточно хорошее, что позволяет использовать выражение (15) при оценке качества систем ЧАП. Существенным выводом из (15) является то, что крутизна ЧД монотонно падает с уменьшением отношения сигнал/шум и, следовательно, дискриминационная характеристика не имеет пороговых свойств по шумам.

При передаче информационных символов, кроме ЧАП, необходимо задействовать ФАП гетеродина. Переход с ЧАП к ФАП предполагает анализ остаточной расстройки  $(\omega_G - \omega_{BX})$  в конце этапа ЧАП. Если не использовать сложный в вычислительном и аппаратном аспектах Фурье-метод, анализирующий спектральный состав смеси сигнал/шум, то единственным возможным способом обнаружения завершения ЧАП остается квадратурная регистрация мощности остаточной низкочастотной (в пределах постоянной составляющей) компоненты указанной смеси. При малом отношении сигнал/шум для повышения достоверности обнаружения придется подавить шумовые переменные колебания в анализируемой смеси, что приводит к схеме обнаружителя окончания ЧАП, показанной на рисунке 3, где фильтры 3 и 4 являются фильтрами нижних частот. Их полосы пропускания связаны прямой зависимостью с отношением сигнал/шум на входах обнаружителя и полосой захвата системы ФАП.

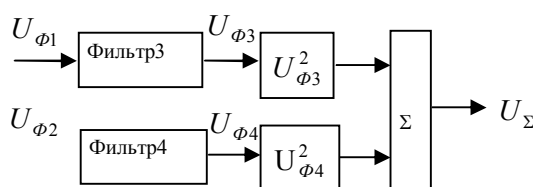


Рисунок 3 – Схема квадратурного обнаружителя

В соответствии с рисунком 3 и формулами (6), (7) для  $U_\Sigma$  имеем:

$$U_\Sigma = (K_{\Sigma 3} U_{\phi 1})^2 + (K_{\Sigma 4} U_{\phi 2})^2 = \\ = (K_{\Sigma 3} U_{\phi 1M} \cos((\omega_G - \omega_{BX})t + \varphi_{G1} - \varphi_{BX}))^2 + \\ + (K_{\Sigma 4} U_{\phi 2M} \cos((\omega_G - \omega_{BX})t + \varphi_{G2} - \varphi_{BX}))^2, \quad (16)$$

где  $K_{\Sigma 3}$ ,  $K_{\Sigma 4}$  - вещественные коэффициенты передачи последовательных цепей рисунка 3 для соответствующих фильтров, блоков возведения в квадрат и сумматора на частоте  $(\omega_G - \omega_{BX})$  в конце этапа ЧАП. В пределе при  $(\omega_G - \omega_{BX}) = 0$  с учетом (8)

$$U_\Sigma = (K_{\Sigma 3} U_{\phi 1M})^2 \cos^2(\varphi_{G1} - \varphi_{BX}) + \\ + (K_{\Sigma 4} U_{\phi 2M})^2 \cos^2(\varphi_{G1} + \pi/2 - \varphi_{BX}) = \\ = (K_{\Sigma 3} U_{\phi 1M})^2 (1 + \cos(2\varphi_{G1} - 2\varphi_{BX}))/2 + \\ + (K_{\Sigma 4} U_{\phi 2M})^2 (1 + \cos(2\varphi_{G1} + \pi - 2\varphi_{BX}))/2 = \\ = (K_{\Sigma 3} U_{\phi 1M})^2 (1 + \cos(2\varphi_{G1} - 2\varphi_{BX}))/2 + \\ + (K_{\Sigma 4} U_{\phi 2M})^2 (1 + \cos(2\varphi_{G1} - 2\varphi_{BX}) \cos \pi - \\ - \sin(2\varphi_{G1} - 2\varphi_{BX}) \sin \pi)/2 = \\ = (K_{\Sigma 3} U_{\phi 1M})^2 (1 + \cos(2\varphi_{G1} - 2\varphi_{BX}))/2 + \\ + (K_{\Sigma 4} U_{\phi 2M})^2 (1 - \cos(2\varphi_{G1} - 2\varphi_{BX}))/2. \quad (17)$$

Для идентичных узлов  $K_{\Sigma 3} = K_{\Sigma 4} = K_\Sigma$ ,  $U_{\phi 1M} = U_{\phi 2M} = U_{\phi M}$ . В этом случае из (17) находим

$$U_\Sigma = (K_\Sigma U_{\phi M})^2. \quad (18)$$

Очевидно, что для обнаружения окончания этапа ЧАП необходим порог  $U_0 < U_\Sigma$ , превышающий уровень  $U_{\Sigma ш}$ , обусловленный шумовой составляющей на выходе схемы рисунка 3. Так как, в отличие от  $U_\Sigma$ , величина  $U_{\Sigma ш}$  переменна во времени, то обнаружение может быть обеспечено только с некоторой вероятностью, определяемой полосой пропускания фильтров 3, 4 и интенсивностью шума. По аналогии с (13) вероятность превышения порога  $U_0$  шумом равна

$$P_{\text{пр}} = (1 - \text{erf}(U_0 / \sigma_{\Sigma ш} \sqrt{2})), \quad (19)$$

где  $\sigma_{\Sigma ш}$  - среднеквадратический размах шума на выходе сумматора. При выбранном способе обнаружения, как показывает (19), есть только два пути повышения достоверности обнаружения – увеличение  $U_0$  и снижение  $\sigma_{ш}^2$ , то есть уменьшение полос пропускания фильтров 3, 4.

Проверка функционирования схемы рисунка 3 производилась при полосе пропускания фильтров обнаружителя 50 Гц. ЧАП гетеродина с начальной расстройкой 5000 Гц (частота несущей 250 кГц) осуществлялась для приемных фильтров рисунка 1 с полосой пропускания 15 кГц. Обратная связь ЧД с гетеродином замыкалась через пропорционально-интегрирующий фильтр. Диаграммы работы ЧАП и обнаружителя при отношении  $U^2/\sigma_{ш}^2 = 0.037/0.0045 = 8.22$  (или 9.15 дБ) в полосе квадратурного приема (15 кГц) показаны на рисунке 4.

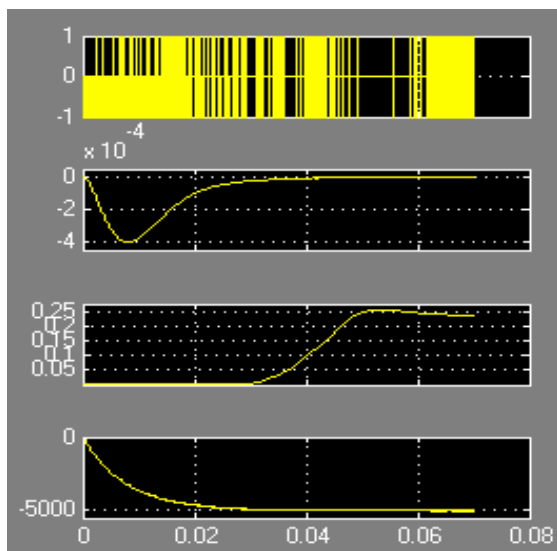


Рисунок 4 – Диаграммы работы системы ЧАП

На рисунке 4 сверху вниз: выход ЧД (единичные импульсы разной полярности), результат усреднения импульсного выхода ЧД, реакция обнаружителя, сигнал управления гетеродином (в масштабе частоты в Гц). Горизонтальные оси координат рисунка 4 размечены делениями в секундах.

Из рисунка 4 (верхняя диаграмма) следует, что влияние шумов на работу ЧД имеет, как предсказывалось, сложный характер и может быть оценено лишь статистически. Усредненная реакция ЧД (вторая кривая сверху) достаточно детерминирована (начальный спад обусловлен инерционностью фильтра-усреднителя). Кривая обратной связи (нижняя диаграмма) - монотонна во всем диапазоне управления от нуля до 5 кГц.

При заданном уровне шумов завершение ЧАП можно зарегистрировать при пороге  $U_0$ , составляющем очень небольшую часть максимального размаха выходного сигнала обнаружителя (вторая диаграмма снизу). Теоретическое доказательство этого несложно найти из (19), где  $\sigma_{\Sigma ш}$  по сравнению с заданным уровнем  $\sigma_{ш} =$

$= 0.0045$  оказывается во много раз меньше (отношение полос квадратурного обнаружения и приема в данном случае равно  $50/15000 = 1/750$ ) и, соответственно, уже при  $U_0 = 0.05$  (пятая часть от максимальной реакции обнаружителя) МАТЛАБ дает  $\text{erf}(U_0/\sigma_{\Sigma ш} \sqrt{2}) = 1$ , т.е.  $P_{\text{ПРЗ}}$  практически равна нулю.

Таким образом, проведенные исследования позволяют:

а) построить схему ЧД, использующего ряд уже имеющихся в СПИ с квадратурным приемом стандартных узлов (рисунок 1, пп.1-8), обладающего относительно широкой полосой анализа и поэтому способного ликвидировать необходимость этапа частотного поиска;

б) рассчитать дискриминационную характеристику полученного ЧД в условиях работы с шумами [уравнение (15)];

в) создать относительно простой обнаружитель окончания ЧАП (рисунок 3);

г) оценить вероятность ложного обнаружения завершения ЧАП [формула (19)].

Особенно эффективно применение изложенных результатов для СПИ в режиме пакетной передачи, когда вначале посылается простая несущая с целью обнаружения факта начала связи и быстрой компенсации частотной расстройки по несущему колебанию, а затем формируется специальная последовательность символов для окончательной синхронизации по несущей, тактам и уведомления о начале передачи самой информации. Очевидно, что факт связи (наличие несущей) может быть выявлен набором схем рисунка 3, в каждой из которых полоса пропускания фильтров должна быть частью допустимой расстройки по несущей, чтобы при охвате всего диапазона возможной расстройки выделяемый шум в полосе этих фильтров был ниже порога обнаружения (редко, когда потребуется больше четырех таких блоков и соответственно четырех частотных поддиапазонов). При наличии факта передачи несущей в работу вводится ЧАП гетеродина. Обнаружитель окончания этапа ЧАП передает затем управление процессами синхронизации системе ФАП, завершающей все необходимые операции.

#### Библиографический список

1. Складарь Бернар. Цифровая связь. Теоретические основы и практическое применение, 2-е изд.: пер. с англ.- М.: Издательский дом "Вильямс", 2003. – 1104 с.